



Sveučilište u Zagrebu



ANALIZA HLAPLJIVIH SPOJEVA U HRANI

Katarina Sopko Stracenski

Kemijski seminar I

Sveučilišni poslijediplomski studij Kemije, akad. god. 2022./2023.

Prema radu: M. Starowicz, *Separations* 8 (2021) 158.

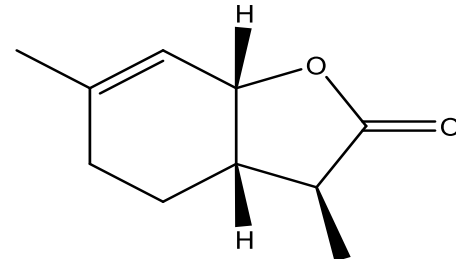
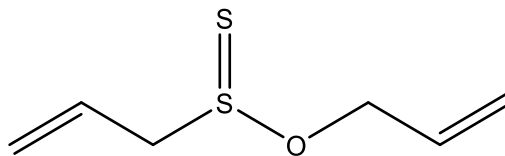
- ***odoransi*** - kemijski spojevi koji potiču osjet mirisa
- lakohlapljivi organski spojevi (engl. *volatile organic compounds*, VOCs), $\text{Mr} < 300$; mirisna svojstva uzrokovana strukturuom i fizikalnim osobinama (način vezanja na proteinske mirisne receptore u nosu)
- mirisan spoj: prisutan od koncentraciji većoj od njegova praga mirisa
- mirisni spojevi u hrani: često nizak prag mirisa (ng L^{-1} ili ng kg^{-1}), kompleksna matrica → zahtjevna ekstrakcija, identifikacija i kvantifikacija
- nepoželjni mirisi (engl. *off odours*) - rezultat nepravilnog proizvodnog procesa, prirodne degradacije produkata ili nepravilnog skladištenja

- 12 000 identificiranih hlapljivih spojeva u hrani, 5% ima značajnu ulogu u formiranju arome → „općeniti“ (Tablica 2.) i „individualni“ odoransi

a)



b)

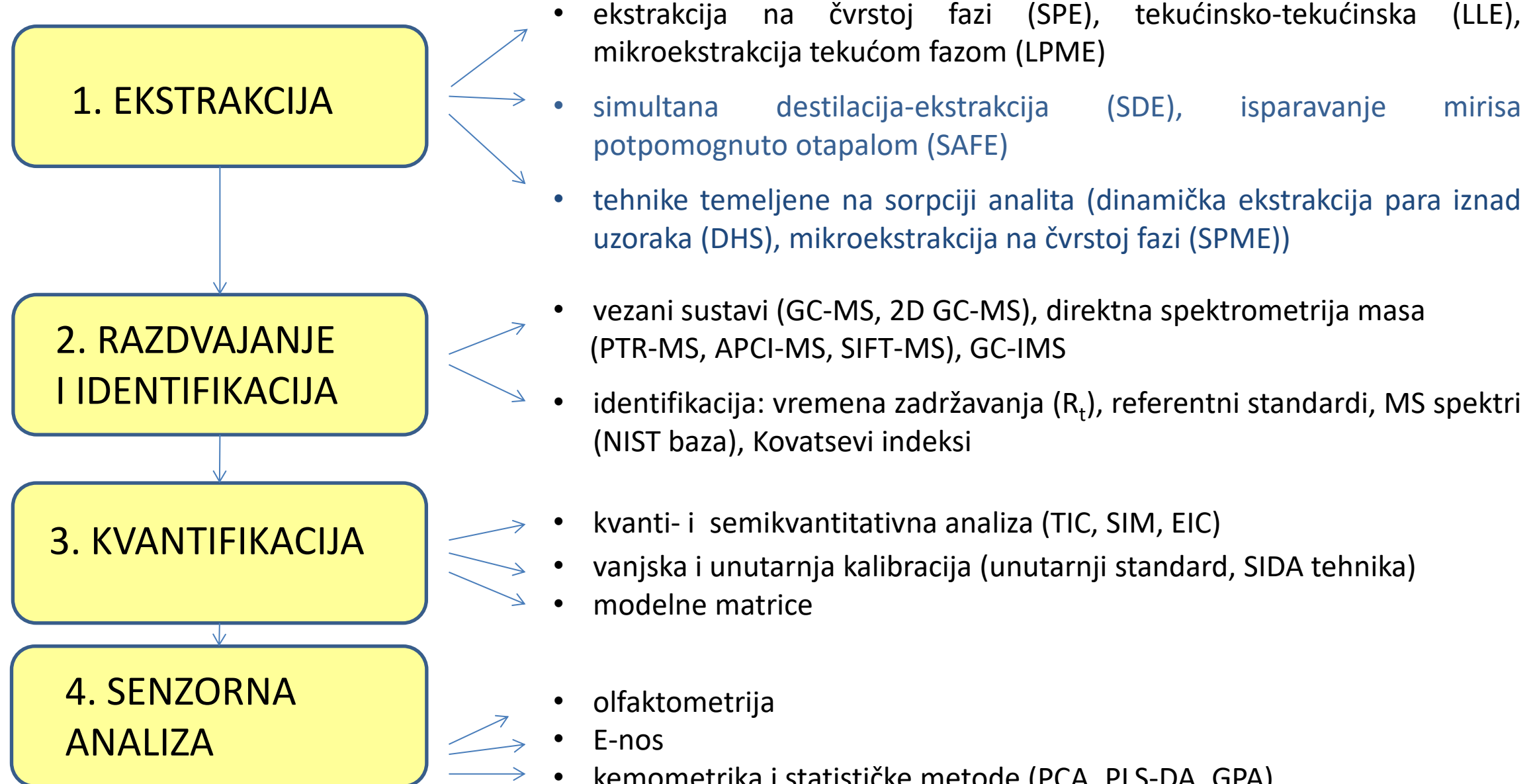


Slika 1. Strukture alicina, odoransa karakterističnog za češnjak (a) i „vinskog laktona“ (b)

- „mirisni kod/uzorak“: 3 - 40 spojeva (npr. konjak - 36 ključnih molekula, maslac – 3)
- doprinos pojedinog spoja aromi: koncentracija, prag mirisa, interakcije s matricom i drugim hlapljivim komponentama

Tablica 2. „Općeniti” odoransi u hrani (A. Dunkel i sur., *Angew. Chem. Int. Ed.* **53** (2014) 7124-7143.)

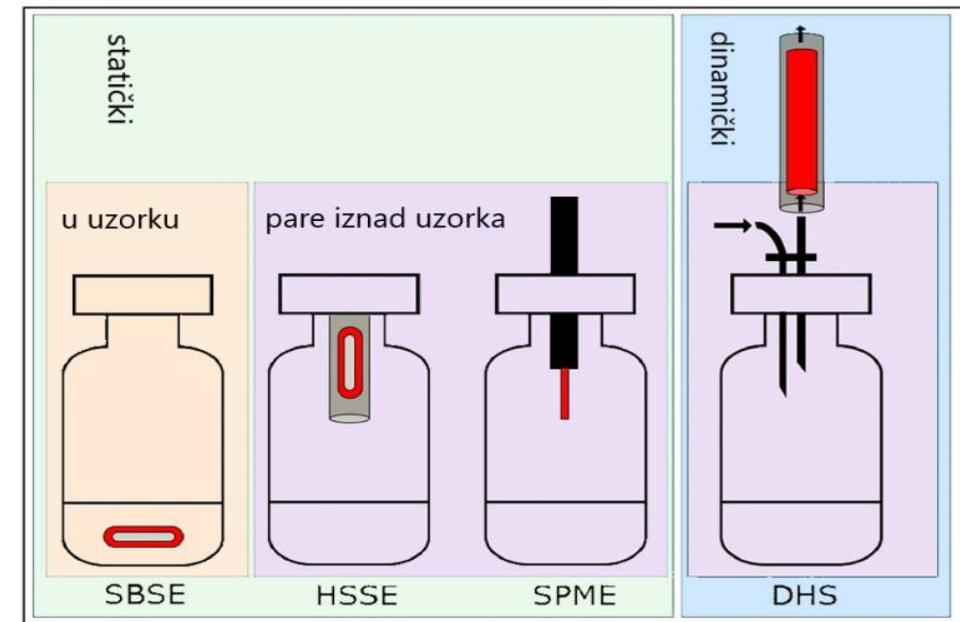
| | Spoj | Opis mirisa | Primjer | Struktura |
|----|---|--------------------------------------|--|-----------|
| 1 | metional | poput rajčice | rajčica, tropsko voće, meso, sir | |
| 2 | 2- i 3-metilbutanal | poput slada | eterična ulja naranče, limuna; prerađena hrana (pivo, sir, čokolada) | |
| 3 | butan-2,3-dion | poput maslaca | maslac, alkoholna pića, prirodna ulja | |
| 4 | (2E,4E)-deka-2,4-dienal | masno, prženo | maslac, riba, čips, pečeni kikiriki, heljda | |
| 5 | furaneol | slatko, karamela, jagoda | jagoda, ananas, rajčica | |
| 6 | heksanal | poput trave, zeleno | različito voće i povrće | |
| 7 | sotolon | curry, javorov sirup, karamela | piskavica, ljekoviti ljupčac | |
| 8 | 1-okten-3-on | plijesan | gljive, matičnjak, off odour u vinu | |
| 9 | etanska kiselina | ocat | ocat | |
| 10 | etanal | svjež, voćni | kava, kruh, zrelo voće | |
| 11 | etyl 2- metil-butanoat, etyl 3- metil-butanoat | voćni | različito voće | |
| 12 | (E)-2-nonenal | karton, neugodan mastan miris, trava | masti i ulja, šparoge, kupina | |
| 13 | vanillin | vanilija | sladoled, čokolada, karamela, kava | |
| 14 | 2-acetil-1-pirolin | pečeno, kokice | karakterističan miris kore bijelog kruha | |
| 15 | 2- i 3-metilbutanska kiselina | sirast, miris znoja | voće (jabuka, marelice) | |
| 16 | butanska kiselina | znojno | maslac, sirovo mlijeko, životinjske masti i biljna ulja | |



- ekološki prihvatljivije, bez upotrebe organskog otapala, manja količina uzorka
- analiza u otopini (*in liquid* tehnika) ili pare iznad uzorka (*headspace* tehnika)
- *statičke* i *dinamičke*

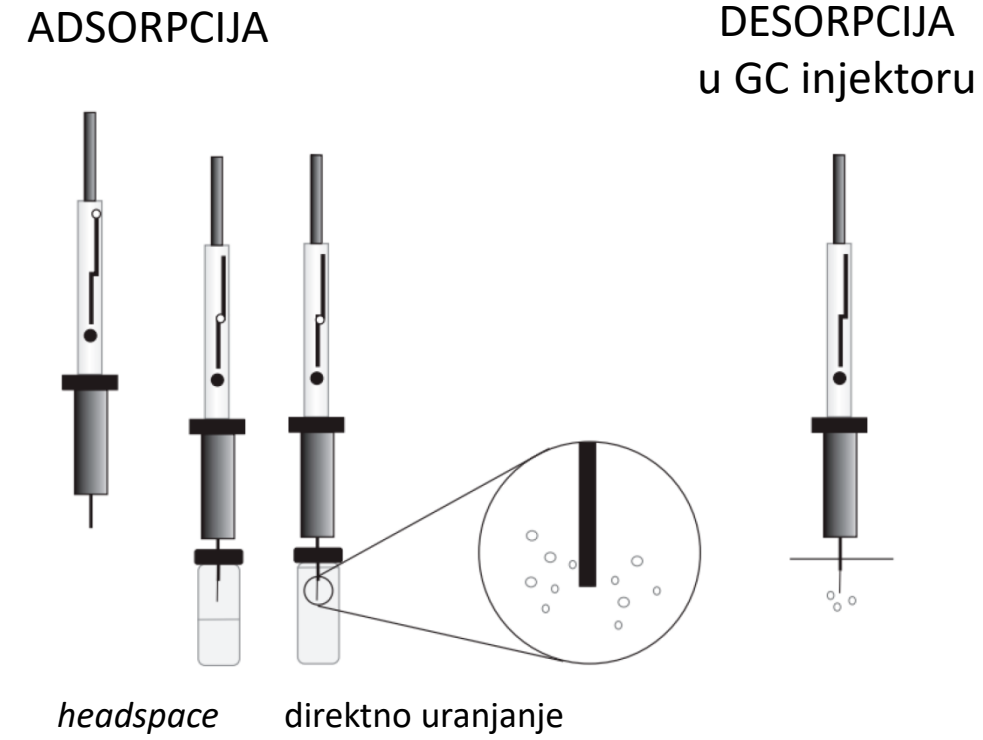
Tablica 3. Sorbensi korišteni u tehnikama ekstrakcije temeljenih na sorpciji analita koje se najčešće primjenjuju u analizi hrane

| Tehnika | Sorbens |
|--|---------|
| Dinamička analiza pare iznad uzorka | DHS |
| Mikroekstrakcija na čvrstoj fazi sa sorbensom nanesenim na vlakno | SPME |
| Mikroekstrakcija na čvrstoj fazi sa sorbensom nanesenim na magnet | SBSE |
| <i>headspace</i> Mikroekstrakcija na čvrstoj fazi sa sorbensom nanesenim na magnet | HSSE |



Slika 2. Shematski prikaz tehnika ekstrakcije temeljenih na sorpciji analita
(S. Louw, *Anal Sci Adv.* **2** (2021) 157–170.)

- J. Pawliszyn 1990.; sorpcija analita na sorbens nanesen na SiO_2 vlakno → desorpcija u injektoru GC
- **prednosti:** jednostavna priprema uzorka, „zelena“ tehnika, kraća analiza, automatizirana, širok raspon analita, objedinjuje uzorkovanje, ekstrakciju i transport analita do instrumenta
- **nedostaci:** profil hlapljivih spojeva ovisi o uvjetima ekstrakcije, afinitetu analita prema sorbenu i selektivnosti samog vlakna; nizak kapacitet sorpcije, degradacija vlakna, kratak period upotrebe (50-100x) → unutarnji standard

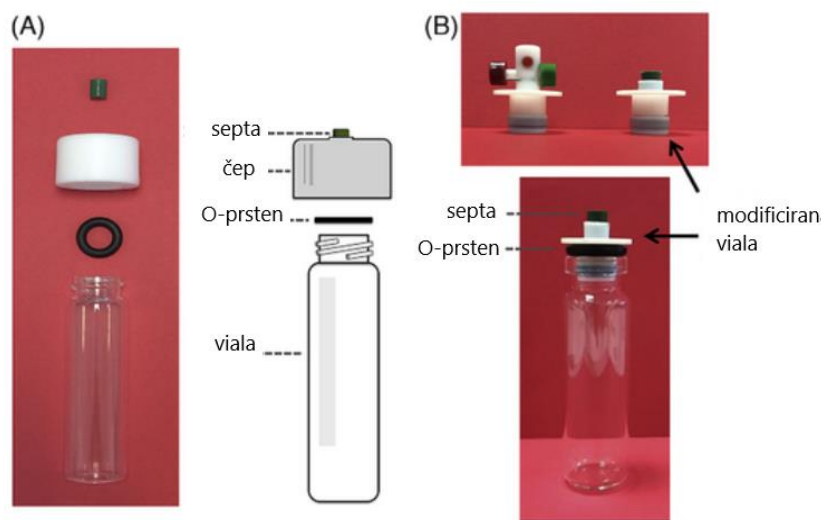


Slika 3. Shema SPME tehnike.

(M. Starowicz, *Separations* 8 (2021) 158.)

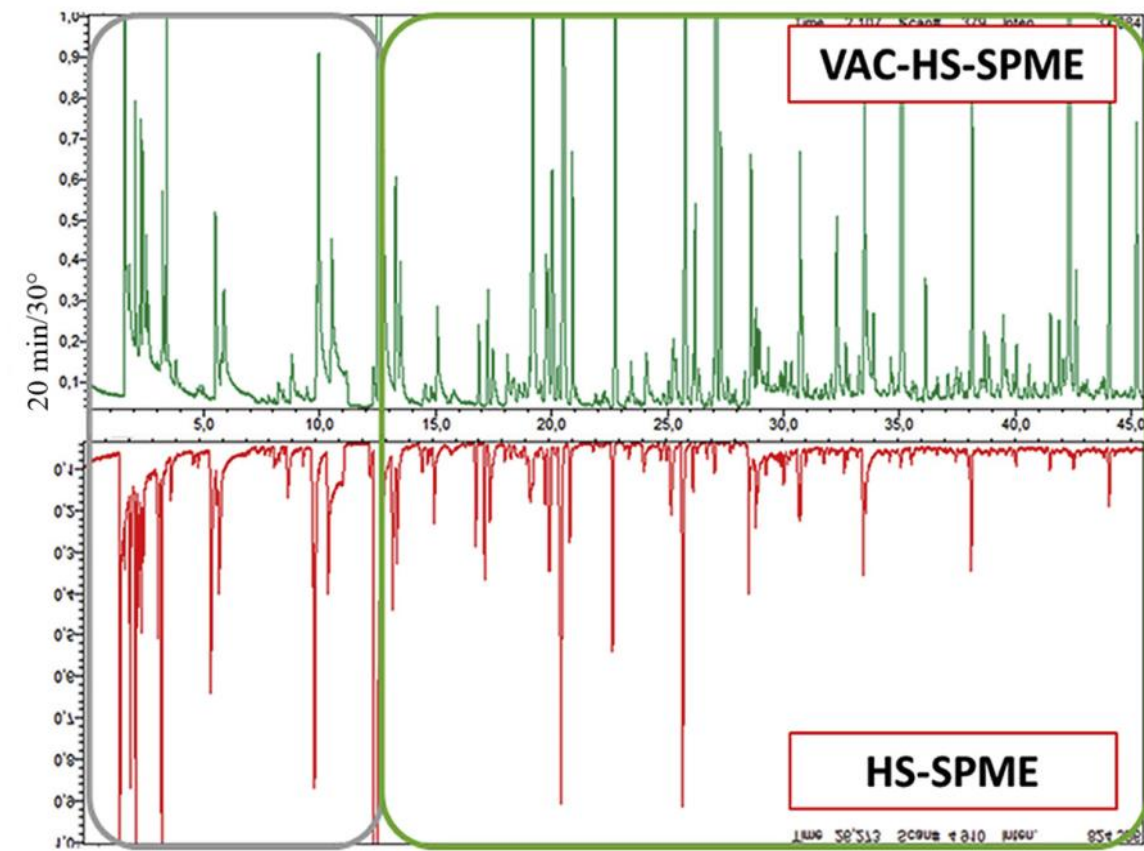
Napredna SPME rješenja:

- SPME Arrow (2015.) - deblji sloj sorbensa → veća osjetljivost
- HS-SPME potpomognut vakuumom (Vac-HS-SPME) → učinkovitija ekstrakcija djelomično hlapljivih spojeva



Slika 4. Primjeri izvedbi HS-SPME tehnike potpomognute vakuumom

(C. Diez-Simon i sur., *J. Chromatogr. A* **1624** (2020) 46119.)



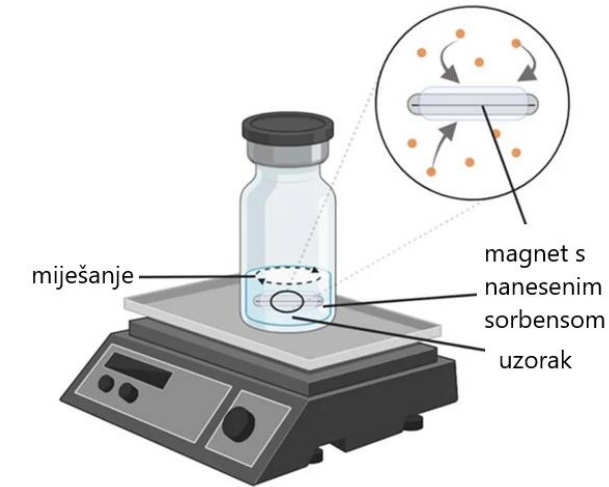
Slika 5. Spektri masa hlapljivih spojeva ekstrahiranih iz ekstra djevičanskog maslinovog ulja tehnikama Vac-HS-SPME i HS-SPME

(S. Mascrez i sur., *Anal. Chim. Acta* **1103** (2020), 106-114.)

- Baltussen i sur. 1999. g. → veća količina sorbensa, povećanje učinkovitost ekstrakcije na čvrstoj fazi, vrlo niska granica detekcije (ng L^{-1})
- sorbens nanesen na magnetski mješač u uzorku (SBSE) ili iznad njega (*headspace* SBSE ili HSSE); analiza hlapljivih i djelomično hlapljivih spojeva nepolarnog do srednje polarnog karaktera na razini ultratragova

Tablica 4. Usporedba SPME i SBSE tehnike

| | SPME | SBSE |
|-----------------------------|--|--|
| Vrsta matrice | tekućina, plin, krutina | tekućina |
| Debljina sorbensa | 150 μm (DVB/CAR/PDMS) | 0,1 - 5 mm (PDMS) |
| Volumen uzorka / mL | 0,5 - 20 | 1 - 100 |
| Vrijeme analize / min | 5 - 120 | 10 - 240 |
| Iskorištenje i osjetljivost | nisko | dobro |
| Prednosti | jednostavnost, „zelena“ tehnika, automatiziranost | veći kapacitet sorpcije, volumen uzorka i miješanje utječu na učinkovitost ekstrakcije , niska granica detekcije |
| Nedostatci | nepotpuna ekstrakcija, niži kapacitet sorpcije, degradacija vlakna | dulja ekstrakcija, dodatna desorpcijska jedinica, ponekad dodatna ekstrakcija, manji izbor dostupnih sorbensa |



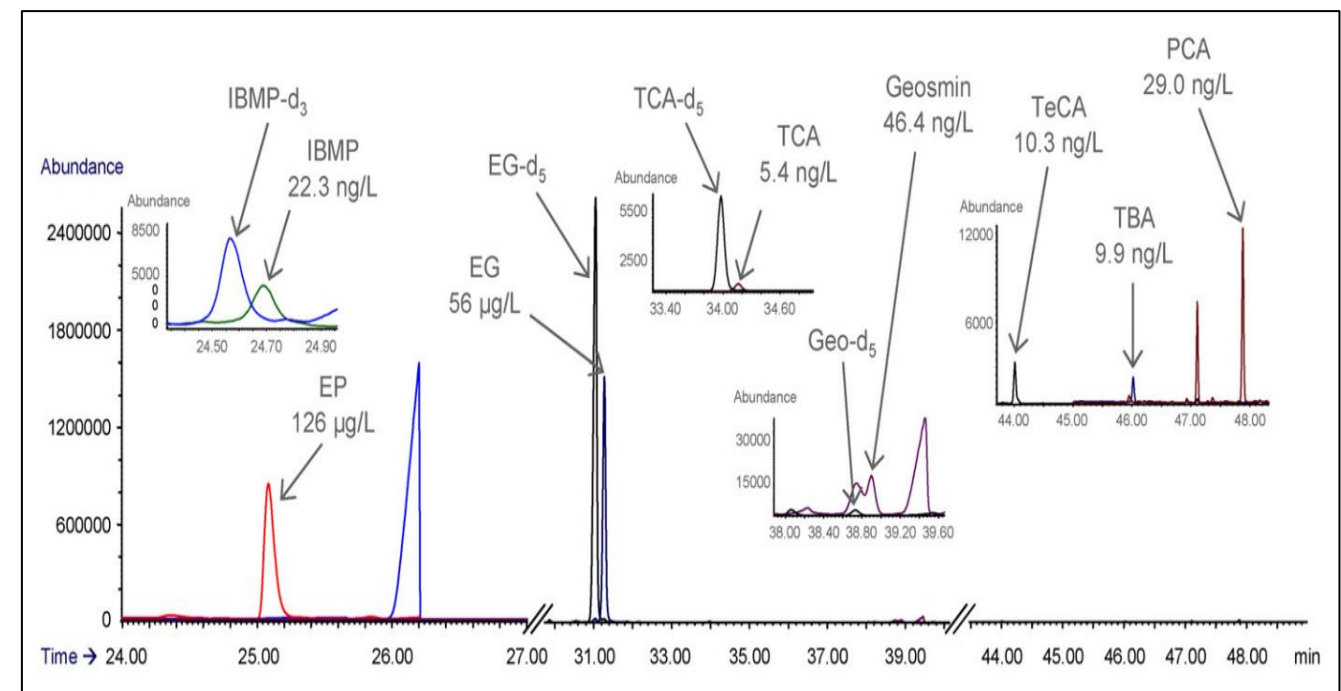
Slika 6. Shema SBSE tehnike

Profiliranje nepoželjnih aroma u vinu tehnikama SBSE i GC-MS

(Franc i sur., *J. Chromatogr. A* **1216** (2009) 3318-3327.)

- optimizacija metode (veličina magneta, V uzorka, vrijeme i brzina ekstrakcije, pH i razrjeđenje uzorka)
- SBSE: 10 ml vina, pH 10 + 20 μL standarda (deuterirani analit) \rightarrow 10 mm magnet, 1mm PDMS, 1h/900 rpm/RT
- GC-MS: 30 m \times 0.25 mm \times 0.25 mm HP-5MS, SIM način snimanja

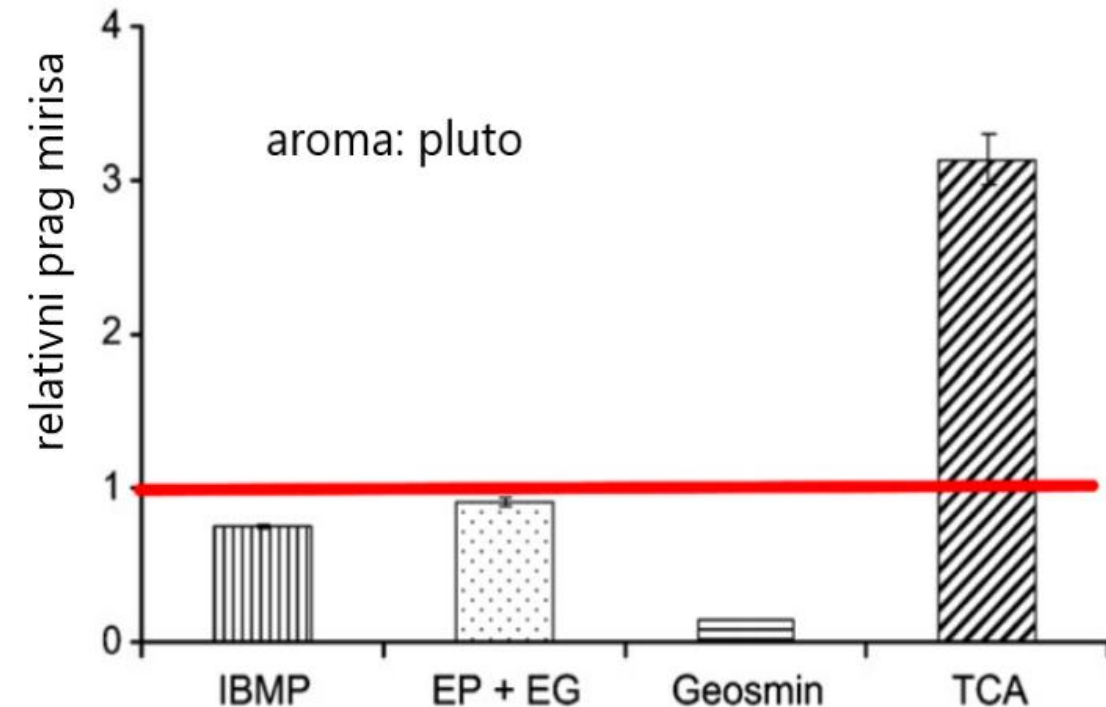
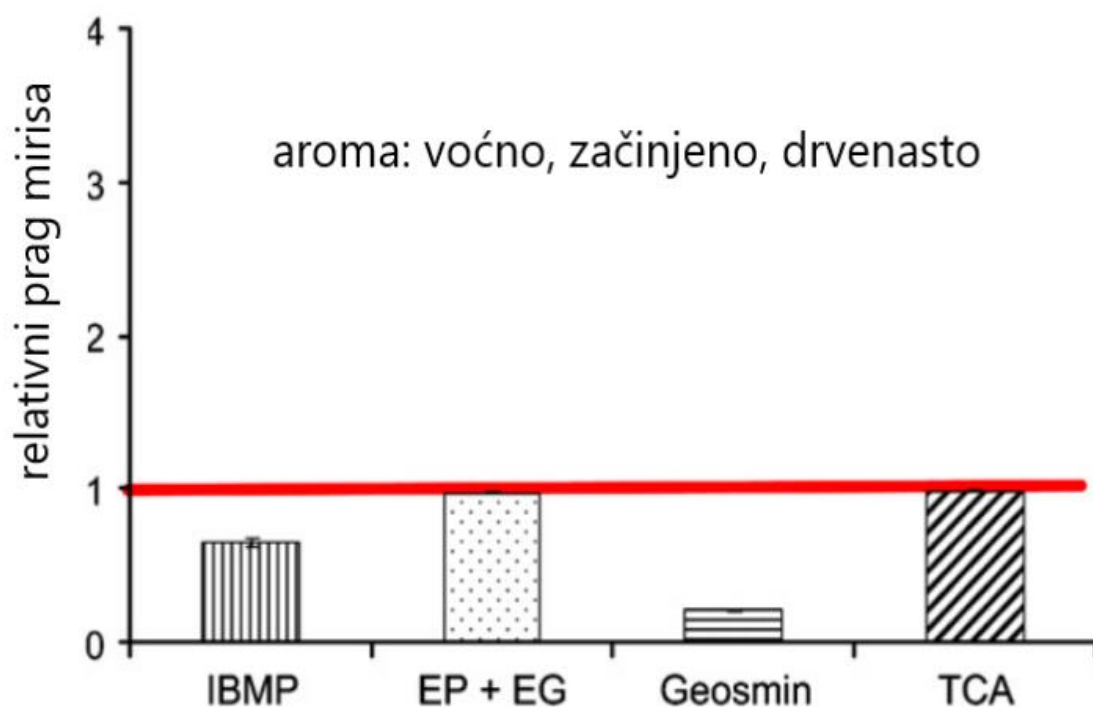
| Nepoželjan miris | Prag mirisa |
|------------------------------------|--------------------------|
| 2-isobutil-3-metoksipirazin (IBMP) | 15 ng L^{-1} |
| 4-etilfenol (EP) | 430 $\mu\text{g L}^{-1}$ |
| 4-etilgvajakol (EG) | 33 $\mu\text{g L}^{-1}$ |
| geosmin (Geo) | 50 ng L^{-1} |
| 2,4,6-trikloroanizol (TCA) | 3 ng L^{-1} |
| 2,3,4,6-tetrakloroanizol (TeCA) | 35 ng L^{-1} |
| 2,4,6-tribromoanizol (TBA) | 3 ng L^{-1} |
| 2,3,4,5,6-pentakloroanizol (PCA) | 100 ng L^{-1} |



Slika 7. Kromatogram uzorka vina Bordeaux 2005 s dodanim ciljnim spojevima

Tablica 5. Nepoželjni mirisi u vinu

- dobra korelacija analitičkih i organoleptičkih rezultata: devijacije u aromi povezane s određenim nepoželjnim mirisima u koncentracijama iznad praga mirisa



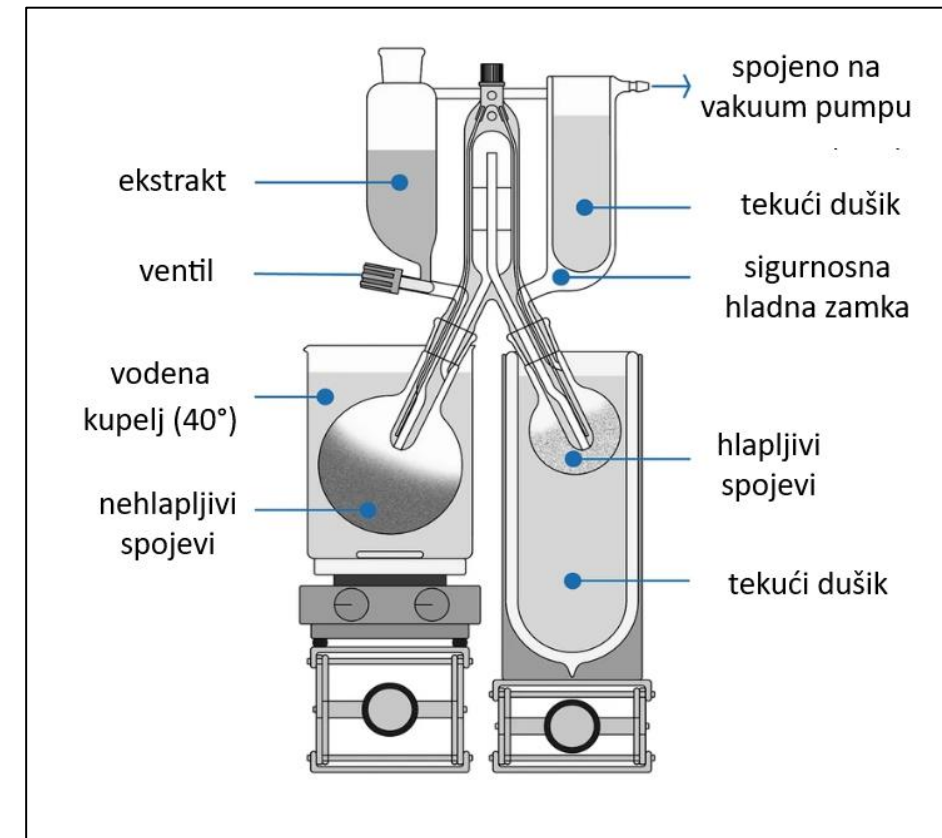
Slika 8. Usporedba koncentracija nepoželjnih aroma u dvije različite boce vina Bordeaux 1999 i pripadajući opis arome

- Likens-Nickerson aparatura (1964.): uobičajena metoda odvajanja hlapljivih spojeva iz vodenih matrica prije analize plinskim kromatografom; temeljena na kombinaciji hidrodestilacije i kontinuirane ekstrakcije organskim otapalom
- ekstrahira gotovo sve arome; nije prikladna za spojeve niske hlapljivosti ni visoko hlapljive; nedostatci: stvaranje nepoželjnih produkata



Slika 9. Likens-Nickerson aparatura

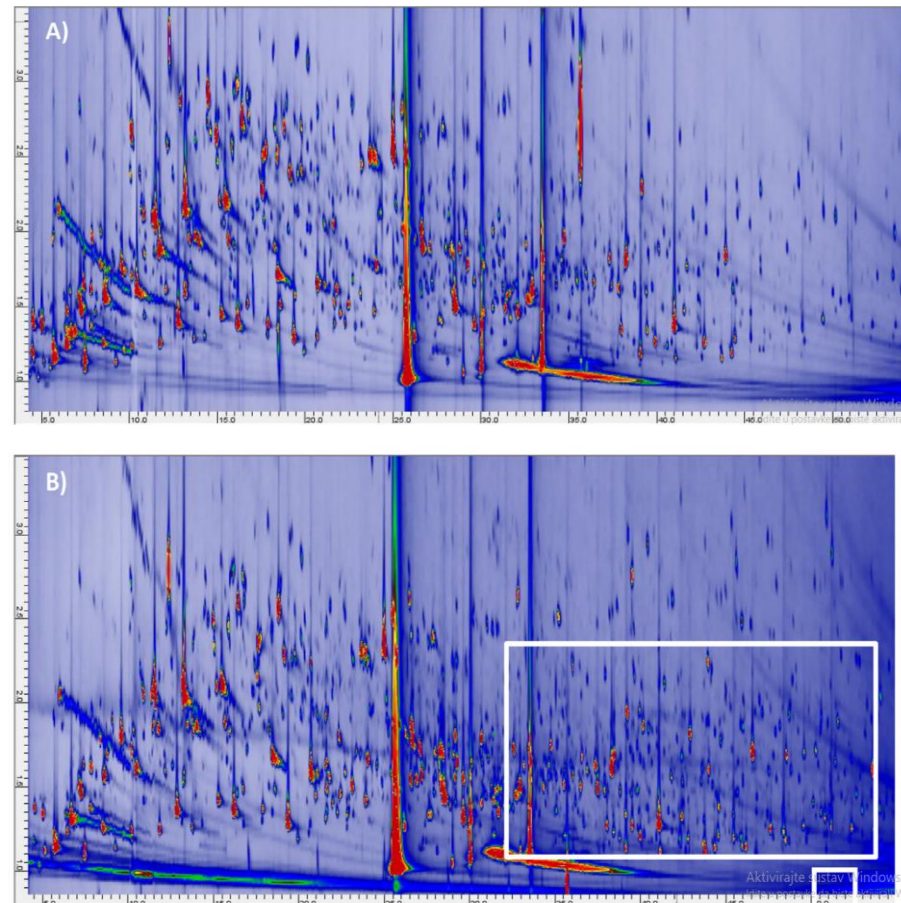
- Engel i sur. 1999. - destilacija hlapljivih komponenti pri nižim temperaturama (40° - 50°) i visokom vakuumu ($10^{-2} - 10^{-3}$ Pa)
→ razdvajanje hlapljivih i nehlapljivih komponenti bez stvaranja nepoželjnih produkata
- dugotrajnija analiza, potrebna veća količina uzorka
- potvrda specifičnih molekula odgovornih za aromu
- SPME i SAFE - komplementarne tehnike, paralelna primjena kako bi se detektirao kompletan raspon hlapljivih spojeva u uzorku hrane



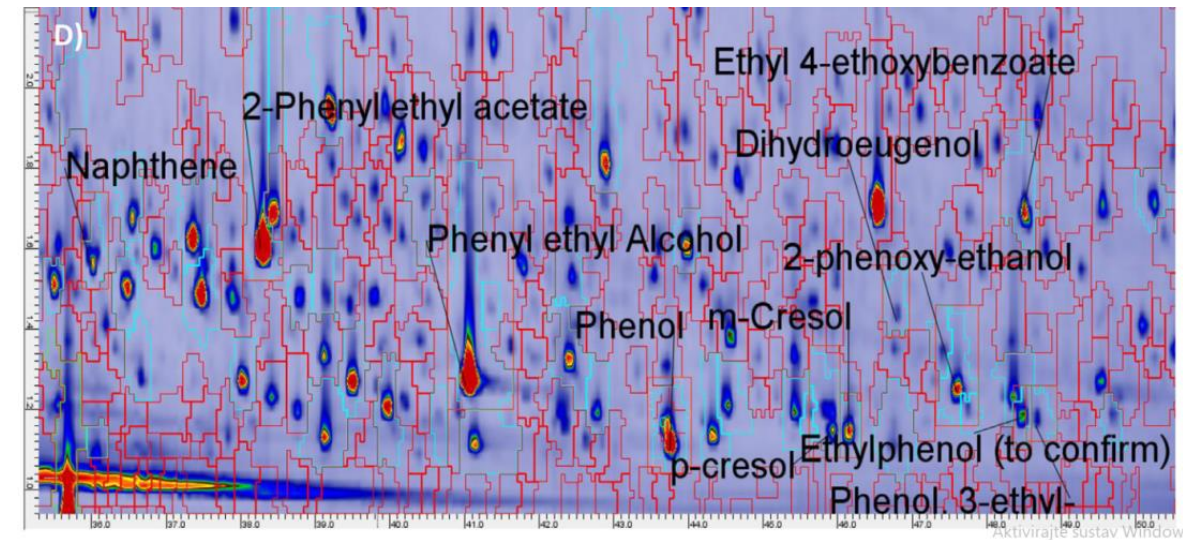
Slika 10. Shema SAFE tehnike

Kemijska karakterizacija nepoželjnih mirisa u kakau

Perotti i sur., *Food. Chem.* **309** (2020) 125561.



- SPME: 1g praha, vlakno DVB/ CAR/PDMS 50/30, 40 min/80°/350 rpm
- 1. kolona: 100% PEG, 2. kolona: 86% PDMS, 7% fenil, 7% cianopropil
- kakao nepoželjnog okusa („smoky”): 56 hlapljivih spojeva u 7-125x većoj koncentraciji nego u uzorcima bez nepoželjnog okusa, 10-ak doprinosi dimljenom okusu (naftalen, fenoli, esteri i alkoholi)



Slika 11. GCxGC-ToF MS profil hlapljivih spojeva iz uzorka kakaa bez nepoželjnih mirisa (A) i s nepoželjnim mirisima (B) te uvećano područje identificiranih aromatskih i fenolnih spojeva (C)

Spektrometrija masa uz kemijsku ionizaciju pri atmosferskom tlaku (APCI-MS)

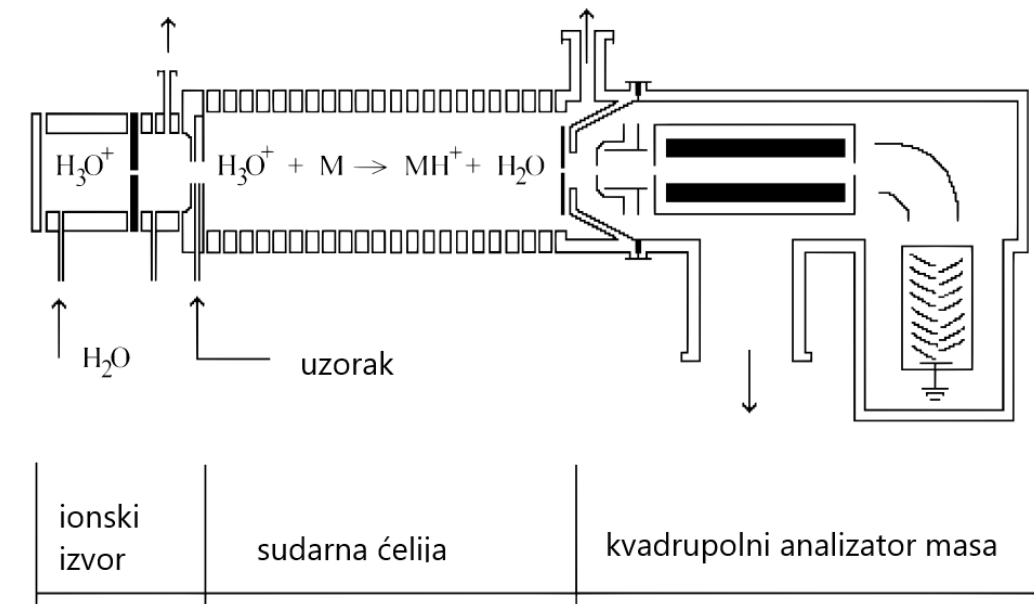
Spektrometrija masa uz ionizaciju prijenosom protona (PTR-MS)

Spektrometrija masa uz ionizaciju izabranim protokom iona (SIFT-MS)

- neinvazivne, brza detekcija hlapljivih spojeva u realnom vremenu, bez prethodne pripreme uzorka i kromatografskog odjeljivanja sastojaka, uzorak se u plinovitom stanju uvodi direktno u sustav i odmah analizira
- blaga kemijska ionizacija (1-2 eV) posredno putem plina reagensa → ne dolazi do jake fragmentacije
- određivanje apsolutnih, niskih koncentracija (ppt) bez primjene kalibracijskih krivulja
- određivanje karakterističnog profila hlapljivih spojeva (*fingerprint*) i brza klasifikacija uzorka hrane (praćenje brzih procesa u prehrambenoj industriji, tijekom skladištenja, razlikovanje autentičnog od ne-autentičnog proizvoda, praćenje geografskog podrijetla, oslobođanje aroma tijekom konzumiranja hrane u realnom vremenu)

Tablica 7. Glavne značajke tehnika direktnе spektrometrije masa primjenjivanih u analizi hlapljivih spojeva u hrani

| | APCI-MS | PTR-MS | SIFT-MS |
|----------------------|--------------------------------------|---|---|
| Ionski izvor | elektroda | šuplja katoda | mikrovalno pražnjenje |
| Ion reagens | $(\text{H}_2\text{O})_n\text{H}^+$ | H_3O^+ (NO^+ , O_2^+) | H_3O^+ (NO^+ , O_2^+) |
| Naboj iona | +/- | + | +/- |
| Plin | dušik | zrak | dušik ili helij |
| Reakcijska ćelija | unutar elektrode | protočna sudarna cijev | protočna cijev |
| Analizator masa | kvadrupol, trostruki kvadrupol | kvadrupol, ToF | kvadrupol |



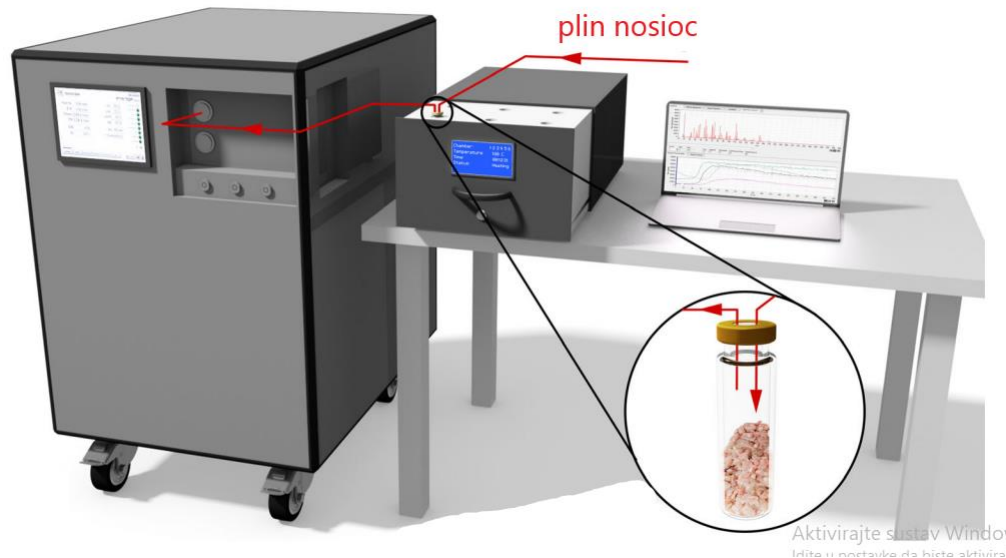
Slika 12. Shema PTR-MS instrumenta
Amann i sur., Meas. Sci. Rev. **10** (2010) 180-188.

Brza procjena roka trajanja mesa peradi pomoću PTR-MS tehnike

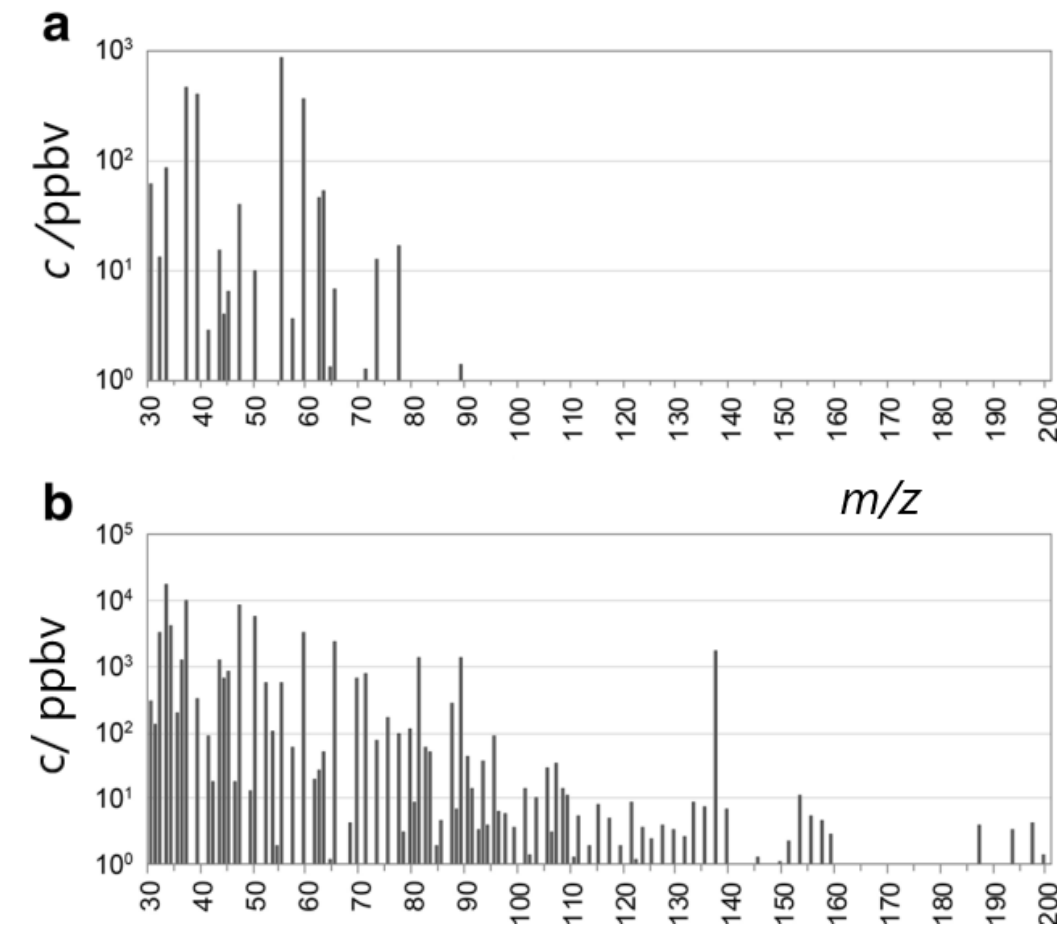
17

Wojnowski i sur., *Food Anal. Methods* **11** (2018) 2085–2092.

- 4g uzorka skladišteno na 4° - analiza tijekom 5 dana
- PTR-MS rezultati uspoređeni s mikrobiološkim mjeranjima – određeni spojevi izabrani kao indikatori za klasifikaciju svježine mesa



Slika 13. PTR-MS instrument

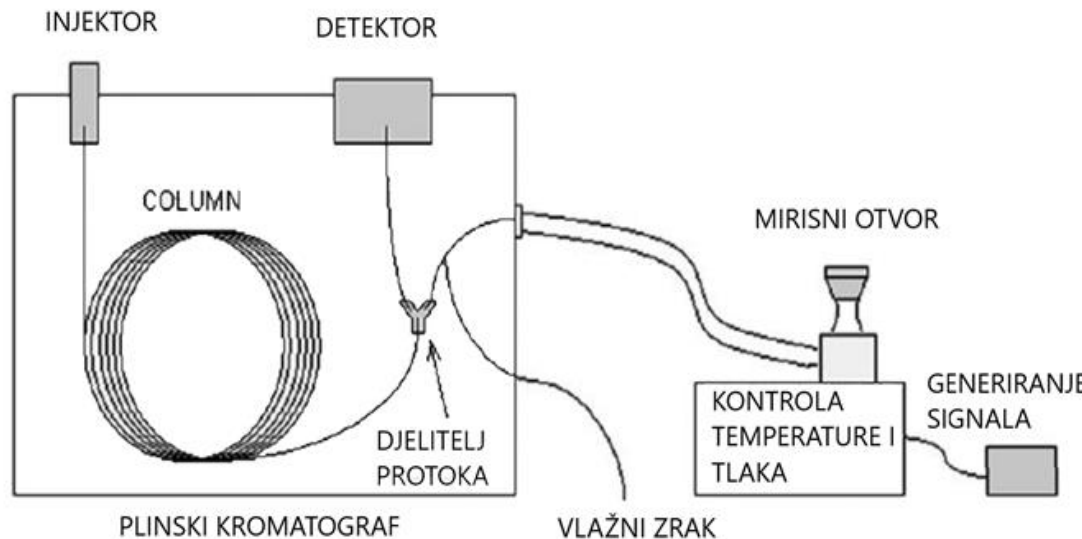


Slika 14. Spektri masa pilećeg mesa
a) prvog i b) petog dana skladištenja

- kombinacija analitičke i senzorske tehnike – uz standardni detektor (MS) koristi se detektor temeljen na ljudskim osjetilima (olfaktometrijska jedinica ili električni nos)

Plinska kromatografija-olfaktometrijska jedinica (GC-O)

- 1964. Fuller i sur.; kasnije poboljšan miješanjem eluiranih spojeva s vlažnim zrakom prije detektiranja olfaktometrom
- detekcija mirisnih tvari: njušenje spojeva eluiranih s kromatografske kolone



Slika 15. Shema vezane tehnike plinski kromatograf-olfaktometrijska jedinica

MIRIS

prag mirisa = najniža koncentracija koja se može detektirati osjetom mirisa (trenirani panelisti)

intenzitet kao funkcija koncentracije

kvalitativni **opis mirisa**

- Analiza razrjeđenja ekstrakta arome (**AEDA**):

faktor razrjeđenja arome FD

- Kombinirana metoda temeljena na hedonističkom doživljaju (**CHARM**):

analiza razrjeđenja + trajanje mirisa

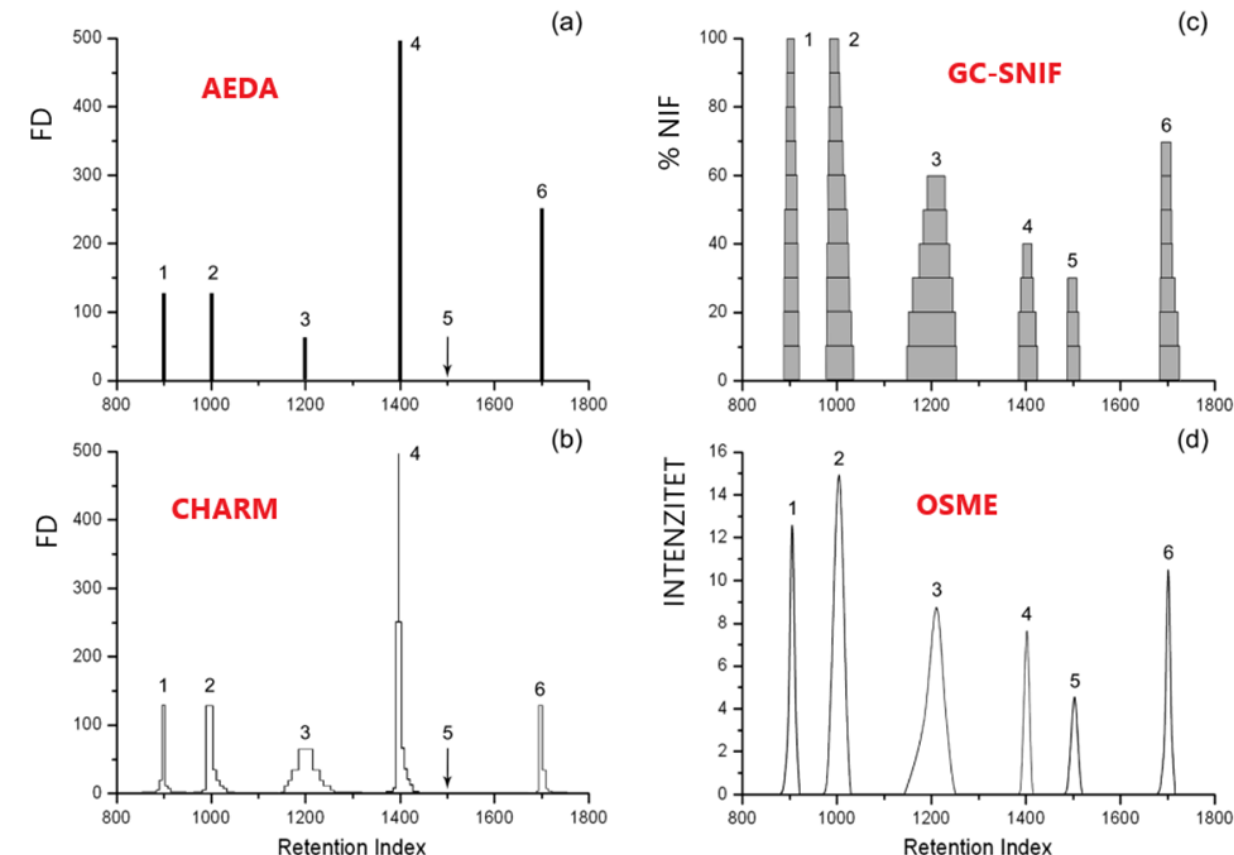
- Određivanje specifičnog intenziteta mirisa (**OSME**):

intenzitet i vrijeme trajanja osjeta arome

- Frekvencija detekcije (**GC-SNIF**):

visina signala (NIF) = broj panelista koji su detektirali miris

površina signala = NIF × vrijeme trajanja mirisa



Slika 16. Aromagrami dobiveni s 4 različite metode
Delahunty i sur., *J. Sep. Sci.* **29** (2006) 2107-2125.

PLINSKA KROMATOGRAFIJA

OLFAKTOMETRIJA

Odabir metode: AEDA, CHARM, OSME, GC-SNIF

Kvalitativan opis: voćno,
cvjetno...

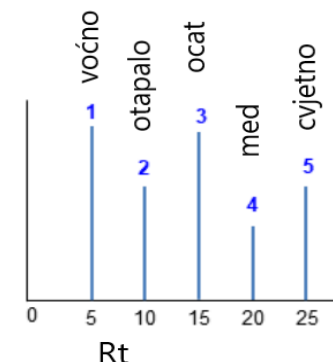
Kvantitativan opis

Intenzitet:
OSME

Trajanje: CHARM,
GC-SNIF

Vrijednosti aktivnosti mirisa
(engl. *odor activity value*):

$$OAV = \frac{c \text{ (odoransa u uzorku)}}{\text{prag mirisa}}$$



MS

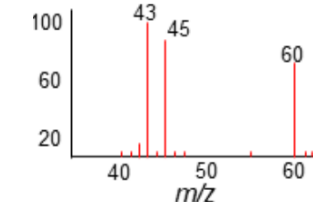
Identifikacija hlapljivih spojeva

Injektiranje

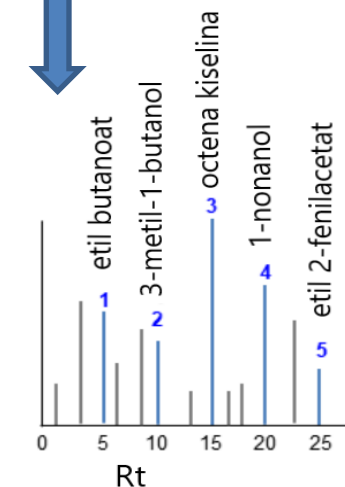
standard

uzorak

otopina n-alkana



računanje RI – usporedba baze podataka, literatura



Slika 17. Koraci u identifikaciji odoransa

Zaključak

- aroma: rezultat karakteristične kombinacije odoransa, doprinos svakog određen koncentracijom i pragom mirisa
- točna i precizna kvantifikacija ključnih odoransa zahtjevna zbog velikih razlika u koncentraciji, hlapljivosti i kemijskoj stabilnosti
- GC-MS/O - standardna tehnika analize hlapljivih spojeva u hrani
- korištenje naprednih tehnika (GC \times GC-ToF MS , GC-IMS) → bolje razdvajanje analita, veća osjetljivost, točnije određivanje aromatskog profila hrane
- očekuje se daljnji razvoj postojećih tehnika ekstrakcije i instrumentalnih analiza (poboljšanje i minijaturizacija/automatizacija uređaja, skraćivanja vremena analize, postizanja veće osjetljivosti i selektivnosti)

HVALA NA PAŽNJI!